

02:07

©1992 г.

ВЛИЯНИЕ ПРОЦЕССОВ МАКРОПЕРЕНОСА В ГАЗАХ НА ИЗМЕНЕНИЕ ПОКАЗАТЕЛЯ ПРЕЛОМЛЕНИЯ ПРИ ПОГЛОЩЕНИИ ИЗЛУЧЕНИЯ НА КОЛЕБАТЕЛЬНО-ВРАЩАТЕЛЬНЫХ ПЕРЕХОДАХ

В.И.Грабовский, А.М.Старик

Анализируется влияние процессов диффузии и теплопроводности на изменение показателя преломления двухкомпонентной смеси газов при возбуждении молекулярных колебаний резонансным излучением. Для гауссовых пучков проведено численное моделирование влияния различных параметров на изменение показателя преломления при наличии и отсутствии процессов макропереноса, связанных с возбуждением колебаний молекул смеси.

Необходимость исследования динамики изменения показателя преломления в молекулярных газах связана с тем, что именно она в значительной степени определяет характер самовоздействия при распространении импульса излучения в поглощающей среде. Изучению этого вопроса было посвящено значительное число работ (см., например, [1-6]). Было показано, что основными механизмами изменения показателя преломления при поглощении излучения ИК диапазона (излучение этого диапазона поглощается на колебательно-вращательных переходах) являются изменение поляризуемости молекул смеси и изменение плотности вследствие газодинамических эффектов. При этом, однако, влияния таких процессов макропереноса, как диффузия и теплопроводность, на изменение показателя преломления не рассматривалось. В то же время недавно в [7] было показано, что эти процессы в ряде случаев могут оказывать значительное влияние на изменение газодинамических параметров среды. Поскольку показатель преломления зависит от них существенным образом, то представляет интерес определить, какова роль процессов диффузии и теплопроводности при возбуждении молекулярных колебаний возмущающим излучением в изменении его величины. Этому вопросу и посвящена данная работа.

Рассмотрим для простоты двухкомпонентную смесь газов $A(i = 1)$ и $B(i = 2)$, частота нормальных колебаний (ν_i) одного из которых (например, A) резонансна частоте возмущающего излучения ν_l

$$\nu_l \approx \nu_1 + \frac{E_{j''} - E_{j'}}{h} + \Delta\nu. \quad (1)$$

Здесь $E_{j''}$ и $E_{j'}$ — вращательная энергия молекулы сорта A в верхнем и нижнем состояниях поглощающего перехода $m(V_1' = 0, j') \rightarrow n(V_1'' = 1, j'')$ (V — колебательное, j — вращательное квантовые числа); $\Delta\nu$ — расстройка; h — постоянная Планка.

При поглощении излучения на колебательно-вращательных переходах величина показателя преломления n определяется следующим соотношением [6]:

$$n^2 - 1 = 4\pi \sum_i N_i \alpha_i, \quad (1)$$

$$\alpha_1 = \alpha_{10} + \alpha_1^V + \alpha_{mn}, \quad \alpha_2 = \alpha_{20} + \alpha_2^V. \quad (2)$$

Здесь α_{i0} — нерезонансная молекулярная поляризуемость молекулы i -го компонента при невозбужденном внутреннем движении, α_{mn} — резонансная часть поляризуемости, α_i^V характеризует вклад молекулярных колебаний в нерезонансную часть поляризуемости молекул i -го сорта.

Учитывая, что для газов $\delta n \ll n_0$ ($\delta n = n - n_0$, индекс 0 отвечает невозмущенным параметрам среды), изменение показателя преломления в соответствии с (2) можно представить в виде

$$\delta n = \frac{2\pi}{n_0} \sum_{i=1}^2 (\alpha_{i0} \delta N_i + N_{i0} \delta \alpha_i). \quad (3)$$

Вводя безразмерные переменные $\tilde{N}_i = N_i/N_{i0}$ и $\tilde{\alpha}_i = \alpha_i/\alpha_{i0}$, соотношение (3) удобно переписать в следующей форме:

$$\delta n = \frac{1}{2n_0} \sum_{i=1}^2 \left\{ (n_{0i}^2 - 1) [\delta \tilde{N}_i + \delta \tilde{\alpha}_i] \right\}. \quad (4)$$

Из (4) видно, что в общем случае величина δn определяется как изменением концентраций компонентов смеси, так и изменением их поляризуемостей.

Будем рассматривать случаи, когда время индуцированных переходов $\tau_I \gg \tau_{RT}$, τ_{VV} , где τ_{RT} и τ_{VV} — характерные времена вращательно-колебательного обмена. При этом можно полагать, что между вращательными и поступательными степенями свободы существует термодинамическое равновесие, а внутри каждой моды устанавливается локальное бальцмановское распределение с колебательной температурой T_i ($i = 1, 2$). При этих допущениях $\alpha_i^V = f(T_i)$ и $\alpha_{mn} = \varphi(T_1)$.

Для определения изменения N_i и T_i при воздействии резонансного излучения на неподвижный газ воспользуемся системой уравнений Навье-Стокса для колебательно-неравновесного газа, которая в переменных $r' = r/R_a$ и $t' = t/\tau_u$, где R_a — характерный радиус пучка, а τ_u — длительность импульса воздействующего излучения, может быть приведена к следующему виду [7] (штрихи далее опускаем):

$$\frac{\partial \rho}{\partial t} = -\nabla(\rho U),$$

$$\frac{\partial N_i}{\partial t} = -\nabla \left\{ N_i \left[\mathbf{U} - \frac{\tau_u}{\tau_{Ti}} \frac{\nabla \ln T}{N_i} - \frac{\tau_u}{\tau_{Di}^V} \frac{\nabla \ln T_i}{N_i} + \frac{\tau_u}{\tau_D} \sum_k d_k \frac{P_m^{2-k} (1 + P_N)^2 N^2}{(P_m + P_N) P_N^{i-1} N_i \rho} \right] \right\},$$

$$\rho \frac{\partial \mathbf{U}}{\partial t} + \rho (\mathbf{U} \nabla) \mathbf{U} = -\frac{\nabla p}{\kappa} \left(\frac{\tau_u}{\tau_a} \right)^2 + \frac{\tau_u}{\tau_k} \left[\Delta \mathbf{U} + \left(\frac{\xi}{\eta} + \frac{1}{3} \right) \nabla (\nabla \mathbf{U}) \right] + \left(\frac{\tau_u}{\tau_F} \right)^2 \sum_k N_k \mathbf{X}_k \gamma_{k0},$$

$$\begin{aligned} \rho \frac{\partial E_{RT}}{\partial t} + \rho (\mathbf{U} \nabla) E_{RT} = & -p \nabla \mathbf{U} (\kappa - 1) + \kappa (\kappa - 1) \left[\sum_i \mathbf{X}_i \mathbf{V}_i N_i \left(\frac{\tau_a}{\tau_F} \right)^2 \gamma_{i0} + \right. \\ & \left. + \frac{\tau_a^2}{\tau_u \tau_k} \nabla \mathbf{U}' \sigma' \right] + k_\nu I \delta_I \frac{\zeta}{\theta_1 + \zeta} + (\kappa - 1) \sum_i \left[\frac{\tau_u}{\tau_i^{VT}} \theta_i \gamma_i (\varepsilon_i - \varepsilon_{i0}) - \right. \\ & \left. - \frac{\tau_u}{\tau_{VV'}} L_{1,2} \frac{(-1)^i \theta_i \tau_i}{\gamma_{i0} g_i^{\tau_i}} \right] - \nabla \left[\frac{\rho T}{C_{RT}^0} \sum_i C_{RT}^i \mathbf{V}_i - \frac{\tau_u}{\tau_\lambda} \nabla T + \right. \\ & \left. + \frac{T}{N} \sum_{i \neq j} (\mathbf{V}_i - \mathbf{V}_j) (\kappa - 1) \frac{N_j \gamma_{i0} \gamma_{j0} \tau_D}{\tau_{Ti}} \right], \end{aligned} \quad (5)$$

$$\begin{aligned} \rho \frac{\partial e_i^V}{\partial t} + \rho (\mathbf{U} \nabla) e_i^V = & \left[\delta_{1,i} k_\nu I \frac{\tau_u}{\tau_i} - \frac{\tau_u}{\tau_i^{VT}} (\varepsilon_i - \varepsilon_{ie}) + (-1)^i \times \right. \\ & \left. \times \frac{L_{1,2} \tau_i \tau_u}{\gamma_{i0} g_i^{\tau_i} \tau_{VV'}} \right] \frac{\theta_i}{C_{i,0}^V} - \nabla \left\{ \rho e_i^V \mathbf{V}_i - \frac{\tau_u}{\tau_i^V} \nabla T_i + \frac{NT}{C_{i,0}^V \gamma_{i0}} \sum_k \frac{\tau_u}{\tau_{ik}^V} \mathbf{d}_k \right\}, \end{aligned}$$

$$\mathbf{V}_i = -\frac{\tau_u}{\tau_{Ti}} \frac{\nabla \ln T}{N_i} - \frac{\tau_u}{\tau_{Di}^V} \frac{\nabla \ln T_i}{N_i} + \frac{\tau_u}{\tau_D} \sum_k d_k \frac{N}{\gamma_i \rho} \frac{P_m^{2-k} (1 + P_N)^2}{(P_m + P_N) P_N^{i-1}},$$

$$\begin{aligned} \mathbf{d}_k = & \gamma_{k0} \nabla (\gamma_k) + \gamma_{k0} \left(\gamma_k - \frac{N_k}{\rho} \frac{P_m^{2-k} (1 + P_N)^2}{(P_m + P_N) P_N^{i-1}} \right) \nabla \ln p + \frac{\kappa \gamma_{k0} \tau_a^2}{p \tau_F^2} \times \\ & \times \left(\frac{N_k P_m^{2-k} (1 + P_N)}{\rho (P_m + P_N)} \sum_j \frac{P_N^{j-1}}{(1 + P_N)} N_j \mathbf{X}_j - N_k \mathbf{X}_k \right), \end{aligned}$$

$$C_{i,0}^V = \frac{\theta_i^2 \exp(\theta_i)}{[\exp(\theta_i) - 1]^2}, \quad \theta_i = \frac{h\nu_i}{kT_0}, \quad \gamma_{i0} = \frac{P_N^{i-1}}{1 + P_N},$$

$$\kappa = 1 + \left(C_{RT}^0 \frac{\mu_0}{R} \right)^{-1}, \quad \zeta = \frac{E_{j''} - E_{j'}}{kT_0},$$

$$\delta_I = \frac{k_\nu^0 I_0 \tau_u}{\rho_0 C_{RT}^0 T_0} = (\theta_1 + \zeta) \frac{\tau_u}{T} (\kappa - 1) \gamma_{10},$$

$$I_{1,2} = \varepsilon_1^{\tau_1} (\varepsilon_2 + 1) - \varepsilon_2^{\tau_2} (\varepsilon_1 + 1)^{\tau_1} \exp[(r_2 h \nu_2 - r_1 h \nu_1) / kT],$$

$$e_i^V = C_V^i T_i, \quad \gamma_i = N_i / N, \quad E_{RT} = T \frac{\sum_i C_{RT}^i}{\sum_i C_{RT}^{i0}},$$

$$C_{RT}^i = (1.5 + C_R^i) \frac{R}{\mu} \gamma_i \gamma_{i0}, \quad C_{RT}^0 = C_R^i \frac{\mu}{\mu_0 \gamma_i},$$

$$C_V^i = \frac{N_i \exp[\theta_i(1/T_i - 1)]}{T_i^2 \exp(\theta_i/T_i) - 1} [\exp(\theta_i) - 1]^2,$$

$$k_\nu = \frac{1 - \exp(-\zeta)\varepsilon_1}{1 - \exp(-\zeta)\varepsilon_{10}}, \quad \varepsilon_i = g_i [\exp(\theta_i/T_i) - 1]^{-1}, \quad \varepsilon_{i0} = g_i [\exp(\theta_i) - 1]^{-1}.$$

Уравнения (1)–(5) записаны относительно безразмерных значений плотности $\tilde{\rho} = \rho/\rho_0$, температуры $\tilde{T} = T/T_0$, плотности молекул данного компонента $\tilde{N}_i = N_i/N_{i0}$, давления $\tilde{P} = P/N_0 k T_0$, где N_0 — полное число частиц в единице объема, k — постоянная Больцмана, скорости $\tilde{U} = U \tau_u / R_a$, колебательной температуры i -го осциллятора $\tilde{T}_i = T_i/T_0$, кроме того, введены безразмерный коэффициент поглощения $\tilde{k}_\nu = k_\nu/k_\nu^0$, безразмерная интенсивность излучения $\tilde{I} = I/I_0$, внешняя сила $\tilde{X}_i = X_i/X_0$, действующая на одну частицу i -го сорта ($X_i = \{m_i g; \mathbf{f}_{NL}\}$, g — ускорение силы тяжести, \mathbf{f}_{NL} — сила, действующая на частицу i -го сорта в электромагнитном поле, а m_i — ее масса). Здесь и далее тильды опущены, а индекс нуль отвечает параметрам при $t = 0$, $\tau_a = R_a / \sqrt{\kappa(\rho_0/\rho_0)}$ — время распространения звуковых колебаний поперек пучка; $\tau_D = R_a^2 / D_{ij}$, $\tau_{Ti} = R_a^2 m_i N_{i0} / D_i^T$, $\tau_{Di}^V = R_a^2 m_i N_{i0} / D_i^V$, $\tau_{ij}^V = R_a^2 / D_{ij}^V$ — соответственно времена многокомпонентной диффузии, термодиффузии i -го компонента, диффузии колебательной энергии i -го осциллятора и колебательной диффузии между i -м и j -м осцилляторами; $\tau_\lambda = \rho R_a^2 C_{RT}^0 / \lambda$ — время теплопроводности; $\tau_i^V = R_a^2 C_{V0}^i / \lambda_i^V$ — время колебательной теплопроводности

для i -го осциллятора; $\tau_i^{VT} = \left(\sum_j W_{i,0}^j N_{j0} \right)^{-1}$ — время $V - T$ -релаксации

для i -го осциллятора, $\tau_{VV'} = (W_{12} \gamma_{10} \gamma_{20} N_0)^{-1}$ — время $V - V'$ -обмена; $\tau_I = N_{10} h \nu_I / k_\nu^0 I_0$; $\tau_k = (R_a^2 \rho_0) / \eta$ — время конвекции вследствие вязкости; $\tau_F = \sqrt{\rho_0 R_a / X_0 N_0}$ — время изменения состояния среды под действием внешних сил X_0 ($\tau_F = \tau_g$ при $X_0 = mg$ и $\tau_F = \tau_{NL}$ при $X_0 = f_{NL}$); δ_{ij} — символ Кронекера; μ — молекулярная масса смеси; D_i^T и D_{ij} — коэффициенты термо- и многокомпонентной диффузии для i -го компонента; D_{ij}^V — коэффициент диффузии колебательной энергии между i -м и j -м осцилляторами; D_i^V — коэффициент колебательной термодиффузии; λ_i^V — коэффи-

коэффициент колебательной проводимости для i -го осциллятора; λ — коэффициент теплопроводности; ζ и η — коэффициенты вязкости; $(U'\sigma')$ — вектор с компонентами $U_j\sigma'_{jk}$, а σ'_{jk} — тензор вязких напряжений; W_{i0}^j — константа скорости колебательно-поступательного $V - T$ -обмена при столкновении молекул i -го сорта с j -м партнером ($j = 1, 2$); $W_{1,2}$ — константа скорости междумодового колебательно-колебательного $V - V'$ -обмена; r_i — количество колебательных квантов, теряемых i -м партнером при $V - V'$ -обмене; g_i — кратность вырождения i -го типа колебаний.

Времена $\tau_D, \tau_\lambda, \tau_{D_i}^V, \tau_{ij}^V, \tau_i^V, \tau_{Ti}$ не являются независимыми, поскольку они связаны соотношениями [7,8]

$$\tau_{ij}^V = k_V^{-1}\tau_D, \quad \tau_i^V = \tau_{ij}^V, \quad \tau_\lambda = \kappa\tau_D, \quad \tau_{D1}^V = k_{V1}^{-1}\tau_{T1},$$

$$\tau_{Ti} = \frac{(P_m + P_N)}{(1 + P_N)^2} \left(\frac{P_N}{P_m}\right)^{i-1} \frac{\tau_D}{k_{Ti}}, \quad \tau_{D2}^V = -\tau_{D1} \frac{P_N \nabla \ln T_2}{P_m \nabla \ln T_1}.$$

Здесь $P_N = \gamma_{20}/\gamma_{10}$, $P_m = m_1/m_2$, k_{Ti} — термодиффузионные отношения ($k_{T1} = -k_{T2}$, их величина зависит от P_m, P_N и параметров потенциала межмолекулярного взаимодействия [9]). Величина k_{Vi} (k_V) может изменяться в зависимости от сорта молекул от 0.4 до 1 [8]. При расчетах полагалось, что характер взаимодействия молекул при столкновениях определяется потенциалом Леннарда-Джонса [9] с типичными для двухатомных молекул параметрами $\sigma = 2.8 \text{ \AA}$, $\varepsilon = 3 \cdot 10^{18}$ эрг, а $k_{V1} = 1$, что характерно для дипольных молекул. Для практически важных случаев $\tau_k, \tau_g \gg \tau_D, \tau_i^V, \tau_{Ti}, \tau_{Ti}, \tau_{D_i}^V, \tau_{VV'}^V, \tau_i^{VT}, \tau_a$. Для дальнейшего анализа необходимо конкретизировать \mathbf{f}_{NL}^i , которая действует на молекулы i -го компонента. Она складывается из так называемой градиентной силы \mathbf{F}_{GR}^i , направленной поперек пучка, силы Абрагама \mathbf{F}_A^i и силы светового давления \mathbf{F}_P^i , направленными вдоль направления распространения [6]. Будем рассматривать случаи, когда \mathbf{F}_P^i и \mathbf{F}_A^i можно пренебрегать [6]. При этом для \mathbf{f}_{NL}^i имеем [10]

$$\mathbf{f}_{NL}^i = \alpha_i \frac{2\pi}{cn} \nabla I.$$

Здесь $\nabla = \partial/\partial r$, c — скорость света. Обычно для рассматриваемого случая $\alpha_{i0} \gg \alpha_i^V$, α_{mn} и $n \approx 1$, поэтому в (6) можно положить $\alpha_i = \alpha_{i0}$. При определении τ_{NL} будем далее полагать

$$X_0 = 2\pi\alpha_{i0} \frac{I_0 N_{10}}{cR_a}.$$

Будем рассматривать пучки с гауссовым распределением интенсивности по радиусу $I(r, t) = I_0(t) \exp(-r^2/R_a^2)$ с $R_a \ll k_V^{-1}$, а $I_0(t) = I_0$ при $0 < t \leq \tau_u$ и $I_0(t) = 0$ при $t > \tau_u$. При этом влиянием изменения параметров в продольном направлении на их распределение в поперечном сечении пучка можно пренебрегать. Пусть также величина поглощенной газом энергии существенно меньше энергии вращательных и поступательных степеней свободы молекул смеси, т.е. $\delta_I \ll 1$. В этом случае $\rho, N_i, T, U, \mathbf{V}_i, \mathbf{d}_i$ можно представить в виде

$$z = 1 + \delta_I z', \quad z = \rho, N_i, T, \quad U = \delta_I U', \quad \mathbf{V}_i = \delta_I \mathbf{V}'_i, \quad \mathbf{d}_i = \delta_I \mathbf{d}'_i. \quad (7)$$

Подставляя (6) и (7) в (1)–(5) и пренебрегая членами с порядком малости выше δ_I , после исключения из (1), (2) U' получим следующую систему уравнений для возмущений N'_i , ρ' , T' и T_i :

$$\begin{aligned} \frac{\partial N'_i}{\partial t} = & \frac{\tau_u}{\tau_D} \Delta \left(N'_i - \rho' - \frac{P_N^{j-1} P_m (1 - P_m^{i-j}) (1 + P_N)}{(P_m + P_N)^2} P' \right) + \frac{\tau_u}{\tau_{T_i}} \Delta T' + \\ & + \left(\frac{\nabla T_i}{T_i} \nabla \right) N'_i \frac{\tau_u}{\tau_{D_i}} + \frac{\tau_u}{\delta_I \tau_{D_i}} \left[\frac{\Delta T_i}{T_i} - \left(\frac{\nabla T_i}{T_i} \right)^2 \right] + \frac{\partial \rho'}{\partial t} - \\ & - \frac{\tau_u \tau_a^2 \kappa}{\delta_I \tau_F^2 \tau_D} \Delta I \frac{(-P_m)^{i-1} P_N^{2-i}}{(P_m + P_N)^2} (1 + P_N)^2 (1 - P_m P_\alpha), \end{aligned} \quad (8)$$

$$\frac{\partial^2 \rho'}{\partial t^2} = \frac{1}{\kappa} \left(\frac{\tau_u}{\tau_a} \right)^2 \Delta (\rho' + T') - \frac{\tau_u^2}{\tau_F^2 \delta_I} \Delta I (1 + P_N P_\alpha), \quad (9)$$

$$\begin{aligned} \frac{\partial T'}{\partial t} = & \frac{\zeta [1 - \exp(-\zeta) \varepsilon_1]}{(\theta_1 + \zeta) [1 - \exp(-\zeta) \varepsilon_{10}]} I - (\kappa - 1) (\nabla V'_1 - \nabla V'_2) k_{T1} + \frac{\tau_u}{\kappa \tau_D} \Delta T' + \\ & + \frac{\tau_u}{\delta_I} (\kappa - 1) \left\{ \sum_i \theta_i \frac{P_N^{i-1} (\varepsilon_i - \varepsilon_{ie})}{(1 + P_N) \tau_i^{VT}} + \frac{L_{12}}{\tau_{VV'}} [(1 + P_N) \theta_1 - \theta_2] \right\} + \\ & + (\kappa - 1) \frac{\partial \rho'}{\partial t} + \sum_i \left(\frac{\nabla T_i}{T_i} \nabla \right) T_i \frac{\tau_u P_N^{i-1}}{\tau_{D_i} (1 + P_N)} + \frac{(\nabla L)^2}{\delta_I} \frac{\tau_u}{\tau_D} \left(\frac{\tau_a}{\tau_F} \right)^4 \times \\ & \times \kappa^2 (\kappa - 1) \frac{P_N (1 + P_N)^2}{(P_m + P_N)^2} (1 - P_m P_\alpha)^2, \end{aligned} \quad (10)$$

$$\begin{aligned} C'_{V_i} \frac{\partial T_i}{\partial t} = & \frac{\tau_u}{\tau_i^V} \Delta T_i + C'_{V_i} \left(\frac{\nabla T_i}{T_i} \nabla \right) T_i \frac{\tau_u}{\tau_{D_i}} + \frac{\theta_i k N_{i0}}{C'_{i,0}} \left\{ \frac{\tau_u [1 - \exp(-\zeta) \varepsilon_1]}{\tau_I [1 - \exp(-\zeta) \varepsilon_{10}]} I \delta_{i,1} - \right. \\ & \left. - \frac{\tau_u}{\tau_1^{VT}} (\varepsilon_i - \varepsilon_{ie}) + (-1)^i \frac{I_{12} \tau_u}{\tau_{VV'} \gamma_{i0}} \right\} - \delta_I \nabla \mathbf{d}'_j \frac{\tau_u k N_{i0}}{\tau_D C'_{i,0}}, \end{aligned}$$

$$\mathbf{V}'_i = \frac{\tau_u \mathbf{d}'_j (1 + P_N)^2 P_m}{\tau_D (P_N + P_m) P_N^{i-1}} - \frac{\tau_u}{\tau_{T_i}} \nabla T' - \frac{\tau_u}{\delta_I \tau_{D_i}} \frac{\nabla T_i}{T_i}, \quad P_\alpha = \frac{\alpha_{20}}{\alpha_{10}},$$

$$\begin{aligned} \mathbf{d}'_j = & \frac{(P_N + P_m)}{(1 + P_N)^2} (-1)^j \nabla (\rho' - N'_1) + \frac{P_N^{j-1}}{1 + P_N} \left[1 - \frac{P_m^{2-j} (1 + P_N)}{(P_N + P_m)} \right] \nabla P' + \\ & + \left(\frac{\tau_\alpha}{\tau_F} \right)^2 \kappa \frac{P_N}{P_m + P_N} (-1)^j (1 - P_m P_\alpha) \nabla I. \end{aligned} \quad (11)$$

Для рассматриваемой задачи справедливы следующие начальные и граничные условия:

$$t = 0: \quad \rho' = N'_1 = N'_2 = T' = 0, \quad T_1 = T_2 = 1,$$

$$\frac{\partial \rho'}{\partial t} = \left[\frac{\partial N_1'}{\partial t} P_m + \frac{\partial N_2'}{\partial t} P_N \right] (P_m + P_N)^{-1},$$

$$r = 0 : \quad \frac{\partial \rho'}{\partial r} = \frac{\partial N_i'}{\partial r} = \frac{\partial T'}{\partial r} = \frac{\partial T_i}{\partial r} = 0,$$

$$r = \infty : \quad \rho' = N_i' = T' = 0, \quad T_1 = 1.$$

Ограничимся рассмотрением случаев, когда $\tau_2^{VT}, \tau_{VV'} \gg \max(\tau_1^{VT}, \tau_D, \tau_I, \tau_a, \tau_{Ti}, \tau_i^V, \tau_{Di}^V)$ (такое соотношение времен характерно для многих смесей из двухатомных дипольных и гомоядерных молекул) и $R_a < \tau_u c_0$, где c_0 — скорость распространения звука. При этом для большинства практически интересных случаев основной вклад в изменение показателя преломления будет давать δN_i [6]. Из (8)–(11) следует, что характер изменения N_i и других газодинамических параметров (ρ, T, T_i) определяется в рассматриваемом случае следующими безразмерными величинами: $\theta_1, \zeta, P_m, P_N, \kappa, P_I = \tau_u/\tau_I, P_D = \tau_u/\tau_D, P_V = \tau_u/\tau_1^{VT}, P_\alpha = \alpha_{20}/\alpha_{10}, P_F = \tau_u/\tau_{NL}, \varepsilon_{10} = 4\pi N_{10}\alpha_{10}$.

Для выделения безразмерных параметров, определяющих изменение показателя преломления, представим (4) в виде

$$\delta n = \frac{\varepsilon_{10}}{2} \left[\delta N_1 + P_\alpha P_N \delta N_2 + \frac{\delta(\alpha_{mn} + \alpha_1^V)}{\alpha_{10}} \right]. \quad (12)$$

При $R_a < \tau_u c_0$ изменение α_1^V и α_{mn} может давать заметный вклад в δn только при очень малых t ($t \leq 0.1\tau_1^{VT}$). Поэтому при дальнейшем анализе членом $(\delta\alpha_{mn} + \delta\alpha_1^V)$ будем пренебрегать. Из (12) видно, что в этом случае для определения δn достаточно задать только указанные выше параметры.

Моделирование влияния диффузии и теплопроводности на характер изменения δn при возбуждении молекулярных колебаний проводилось на основе численного интегрирования системы (8)–(11) и выражения (12) с учетом принятых допущений. Использовались неявные разностные схемы второго порядка точности по пространству и первого по времени [11]. Полагалось, что условия на бесконечности выполняются при некотором конечном $r = R_b$, величина которого зависит от P_a и определяется из условия исключения влияния отражения возмущений от фиктивной внешней границы на параметры в центре пучка.

Рассмотрим сначала влияние изменения параметров P_F и P_α на характер поведения зависимостей $N_i'(t)$, $i = 1, 2$ на оси пучка при наличии процессов диффузии и теплопроводности, связанных с возбуждением молекулярных колебаний ($k_{V1} = 1$) и при их отсутствии ($k_{V1} = 0$) (влияние $\theta_1, \zeta, P_m, P_N, \kappa, P_I, P_D, P_V$ анализировалось ранее для случая $P_F = 0$ в [7]). На рис. 1 зависимости $N_1'(t')$ и $N_2'(t')$ представлены для случаев $P_F = 0$ (а) и $P_F = 1$ (б) при $\varepsilon_{10} = 2.5 \cdot 10^{-7}$, $\theta_1 = 7$, $\zeta = -1$, $P_m = 0.5$, $P_N = 4$, $P_V = P_D = P_I = 1$, $P_a = 10$, $\kappa = 1.4$ и $P_\alpha = 0.5, 2$. Здесь и далее сплошные линии соответствуют $k_{V1} = 1$, а штриховые — $k_{V1} = 0$, $t' = t/\tau_D$, $\delta I = 0.46$. Отметим, что принятое при расчетах значение ε_{10} соответствует, например, $\alpha_{10} = 10^{22} \text{ см}^3$ и $N_{10} = 2 \cdot 10^{16} \text{ см}^{-3}$ (такое значение

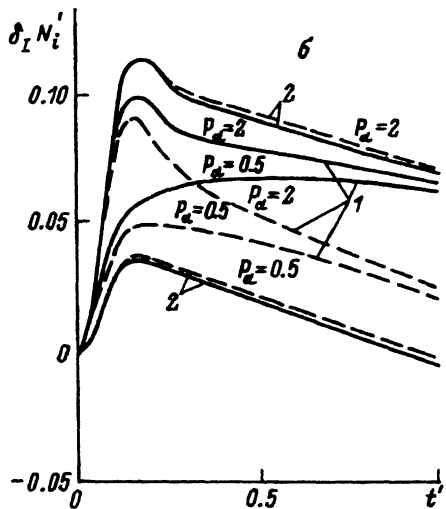
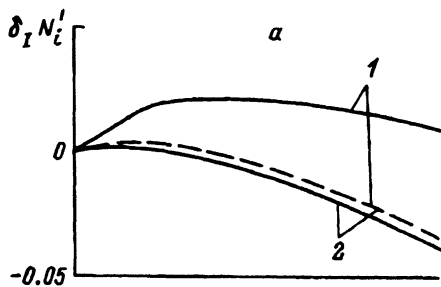


Рис. 1.

α_{10} является достаточно типичным для дипольных молекул, а N_{10} соответствует $p_0 = 0.4$ кПа, $T_0 = 300$ К). Из представленных распределений видно, что процессы диффузии, связанные с возбуждением молекулярных колебаний, оказывают существенное влияние на характер изменения N_i^I ($i = 1, 2$) во времени (определяющее влияние оказывает колебательная термодиффузия) как при $P_F = 0$, так и при $P_F = 1$. В случае, когда влиянием f_{NL}^i можно пренебречь ($P_F = 0$), именно эти процессы приводят к различию в изменении $N_1^I(t)$ и $N_2^I(t)$ (на оси пучка происходит увеличение концентрации более легкого компонента A и уменьшение более тяжелого B). При $P_m = 0.5$ и $P_N = 4$ диффузионный поток для первого компонента A направлен от периферии к центру пучка ($D_1^V < 0$), что и приводит к росту N_1^I на оси. При $\zeta < 0$ (в рассматриваемом случае $\zeta = -1$) на определенном временном интервале $0 < t < \tau_1^{VT}$ имеет место кинетическое охлаждение среды [12]. Поскольку $P_a = 10P_V$, то за время существования эффекта кинетического охлаждения на оси пучка успевает сформироваться область с $\rho' > 0$, что и приводит вначале к некоторому увеличению N_2^I . Для второго компонента B диффузионный поток направлен от оси к периферии ($D_2^V > 0$), поэтому величина N_2^I на оси очень быстро начинает уменьшаться. При $t > 0.5\tau_D$ изменение N_i^I определяется уже изменением плотности, которая вследствие релаксационного нагрева среды начинает на оси пучка уменьшаться. При $D_1^V = D_2^V = 0$ $N_1^I(t) \approx N_2^I(t)$.

При $P_F = 1$ (влиянием f_{NL}^i на изменение N_i^I пренебрегать нельзя) характер поведения $N_i^I(t)$ как при $kV_1 = 1$, так и при $kV_1 = 0$ зависит также и от величины P_a (при принятых значениях $P_I, P_a, P_N, \theta_1, \zeta$ и ε_{10} $P_F = 1$ реализуется при $I_0 = 100$ ГВт/см², при увеличении P_a до 100 и ε_{10} до $2.5 \cdot 10^{-6}$ $P_F = 1$ уже при $I_0 = 100$ МВт/см²). Интересным здесь является тот факт, что даже при $kV_1 = 0$ появляется различие в поведении $N_1^I(t)$ и $N_2^I(t)$. В результате это различие обусловлено разной величиной f_{NL}^i

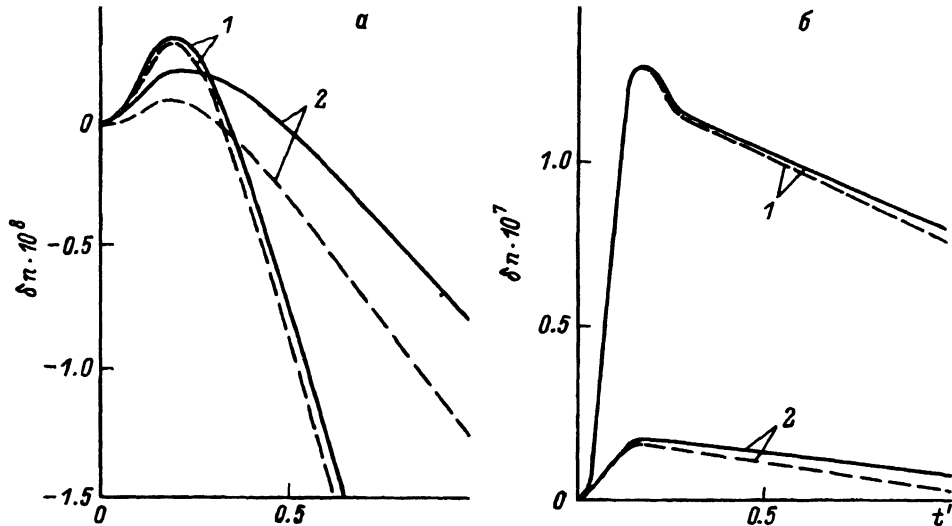


Рис. 2.

для $i = 1$ и 2 , действующей соответственно на молекулы газа A и B и направленной к центру гауссова пучка. При $P_\alpha > 1$ сильнее на оси пучка увеличивается концентрация компонента B , а при $P_\alpha < 1$ — компонента A . Колебательная термодиффузия ($k_{V1} = 1$) приводит в этом случае к еще большему отличию $N_1'(t)$ и $N_2'(t)$, причем в основном ее влияние, как и при $P_F = 0$, сказывается на изменении N_1' . Наличие более ярко выраженного по сравнению со случаем $P_F = 0$ максимума для зависимостей $N_i(t)$ объясняется в данном случае также действием сил f_{NL}^i , которые приводят к движению молекул обоих компонентов к центру пучка и которые при $t \leq 0.2\tau_D$ доминируют над уменьшением плотности среды при нагреве вследствие термализации поглощенной молекулами компонента A энергии воздействующего излучения.

Изменение показателя преломления, как следует из (12), даже при $P_F = 0$ будет зависеть от величины P_α . При $P_F = 1$ эта зависимость будет проявляться также и через изменение N_i' . Это иллюстрирует рис. 2, на котором при тех же, что и ранее, безразмерных параметрах представлены зависимости $\delta n(t')$ на оси пучка при $P_F = 0$ (а) и $P_F = 1$ (б). Здесь кривые 1, 2 отвечают $P_\alpha = 2$ и 0.5 , а штриховые и сплошные линии — случаям $k_{V1} = 0$ и 1 . Видно, что при $t \leq 0.1\tau_D$ влияние процессов макропереноса, обусловленных возбуждением молекулярных колебаний, на величину δn незначительно. Однако с увеличением t это влияние растет и при $t = \tau_D$ может быть весьма существенным. Интересным здесь является то, что при $P_F = 0$ и 1 характер зависимости величины δn от P_α различен. Так, если при $P_F = 0$ $\delta n > 0$ только при $t < 0.3\tau_D$ для $P_\alpha = 2$ и при $t < 0.5\tau_D$ для $P_\alpha = 0.5$, то при $P_F = 1$ $\delta n > 0$ даже при $t > \tau_D$ как для $P_\alpha = 2$, так и для $P_\alpha = 0.5$. Это различие связано как раз с тем, что при $P_F = 1$ от P_α начинает зависеть характер изменения $N_i'(t)$ (рис. 1, б).

Величина P_α также существенным образом влияет и на вид зависимости $\delta n(r')$. Это иллюстрирует рис. 3, на котором эти зависимости представлены в момент времени $t = \tau_D$ для случая $P_F = 0$ с $P_\alpha = 0.5, 1, 2$ (кривые 1–3 соответственно) и прежних значениях остальных пара-

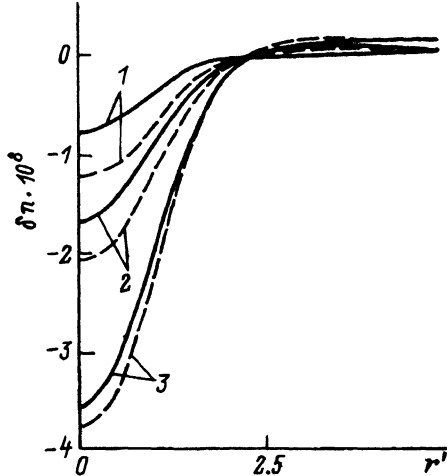


Рис. 3.

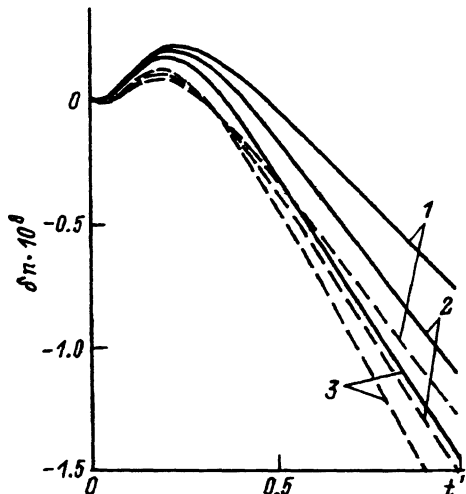


Рис. 5.

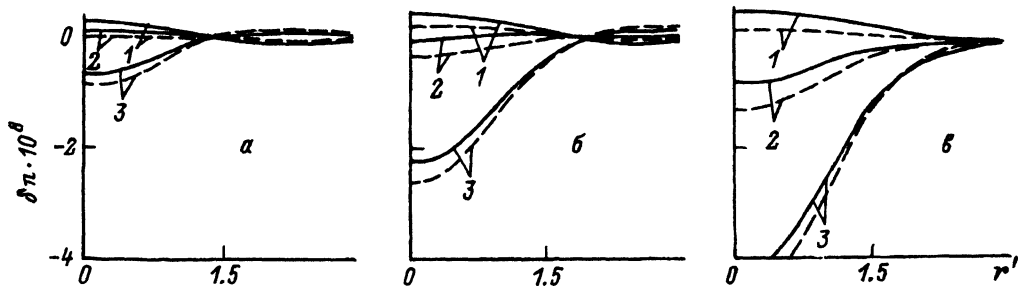


Рис. 4.

метров. Видно, что чем меньше P_α , тем сильнее проявляется влияние колебательной термодиффузии на характер распределения δn по радиусу пучка. При $P_F = 1$ это влияние также весьма существенно, хотя в этом случае как при $k_{V1} = 1$, так и при $k_{V1} = 0$ в центральной части пучка $\delta n > 0$.

Другим важным фактором, определяющим характер изменения показателя преломления, является скорость термализации поглощенной молекулами энергии излучения. В рассматриваемой задаче она связана с величиной P_V (с увеличением P_V скорость тепловыделения из колебательных в поступательные степени свободы возрастает). Влияние параметра P_V на изменение δn иллюстрирует рис. 4, которым в моменты времени $t = 0.25\tau_D, 0.5\tau_D, \tau_D$ (а-в соответственно) представлены распределения $\delta n(r')$ при $P_V = 0.1, 1, 10$ (кривые 1-3) для случая $P_F = 0, P_\alpha = 0.5$ и прежних значениях остальных параметров. Здесь, как и ранее, сплошные линии соответствуют $k_{V1} = 1$, а штриховые $k_{V1} = 0$. Видно, что с увеличением P_V влияние процессов колебательной термодиффузии на характер изменения δn уменьшается. Связано это с тем, что при больших скоростях тепловыделения определяющее влияние на изменение N'_i , а следовательно, и δn оказывает изменение плотности, которое при

$P_F = 0$ не зависит от процессов макропереноса. В то же время при малых P_V влияние колебательной термодиффузии весьма существенно и может привести даже к изменению знака δn .

Как следует из (12), на величину δn также значительное влияние должен оказывать параметр P_N . На рис. 5 показано изменение δn во времени на оси пучка при значениях $P_N = 4, 1, 0.25$ (кривые 1-3) и тех же, что и в предыдущем случае, значениях других параметров. Из представленных распределений видно, что с увеличением содержания поглощающего компонента в смеси (это соответствует уменьшению P_N) влияние процессов колебательной термодиффузии на характер изменения δn уменьшается. Это обусловлено тем, что при малых P_N и соответственно больших γ_{10} выделение энергии из колебательных в поступательные степени свободы приводит к значительному нагреву газа и уменьшению N'_1 на оси пучка, которое при рассматриваемых параметрах доминирует над увеличением N'_1 вследствие колебательной термодиффузии. При больших P_N тепловыделение не столь велико и доминирующим оказывается процесс увеличения N'_1 на оси пучка вследствие диффузионного потока, направленного от периферии к центру.

Полученные результаты указывают на необходимость учета в ряде практически важных случаев влияния процессов диффузии и теплопроводности в газе с возбужденными колебательными степенями свободы на изменение показателя преломления при воздействии резонансного излучения. С уменьшением степени возбуждения влияние этих процессов на величину δn также уменьшается.

Список литературы

- [1] Азманов С.А., Сухоруков А.П., Холлов Р.В. // УФН. 1967. Т. 93. № 1. С. 69-70.
- [2] Стробен Д. Распространение лазерного пучка в атмосфере. М.: Мир, 1981.
- [3] Осипов А.И., Филиппов А.А. // Хим. физика. 1984. Т. 3. № 8. С. 1069-1074.
- [4] Булакин М.О., Бурцев А.П., Коротков С.А. // Опт. и спектр. 1987. Т. 63. Вып. 3. С. 467-469.
- [5] Левин В.А., Сорокин А.А., Старик А.М. // ДАН СССР. 1989. Т. 304. № 5. С. 1073-1076.
- [6] Журавлев В.В., Сорокин А.А., Старик А.М. // Квантовая электрон. 1990. Т. 17. № 4. С. 501-506.
- [7] Грабовский В.И., Старик А.М. // ДРАН. 1992. Т. 322. № 4. С. 674-680.
- [8] Athye W.F. // J. Chem. Phys. 1972. Vol. 57. N. 12 (II). P. 542-555.
- [9] Гиршфельдер Дж., Кертисс Ч., Берд Р. Молекулярная теория газов и жидкостей. М.: Ил, 1961.
- [10] Шен И.Р. Принципы нелинейной оптики. М.: Наука, 1989.
- [11] Самарский А.А. Теория разностных схем. М.: Наука, 1977.
- [12] Старик А.М. // ЖТФ. 1984. Т. 54. Вып. 8. С. 1631-1634.

Центральный институт авиационного
моторостроения им.П.И.Баранова
Москва

Поступило в Редакцию
15 января 1991 г.